
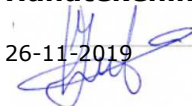





OCE Onderzoek Dorst-oost

11181

OPDRACHTGEVER: Ruimte voor Ruimte II CV

Autorisatie		Aannemer		
Nummer/versie	Datum	Opsteller	Senior OCE-deskundige	Projectverantwoordelijke
11181-PVO OCE V1	26-11-2019	Naam Dhr. J. de Geus	Naam Dhr. J. Leijten	Naam Dhr. I. Dekker
		Datum 26-11-2019	Datum 26-11-2019	Datum 26-11-2019
		Handtekening 	Handtekening 26-11-2019 	Handtekening 





INHOUDSOPGAVE

1	INLEIDING	3
2	HET ONDERZOEK	3
2.1	Uitgevoerde detectie	3
2.2	Interpretatie meetgegevens	4
3	MEETRESULTATEN	5
4	CONCLUSIE EN ADVIES	6
	Bijlage A: Tekening onderzocht gebied	7
	Bijlage B: Objectenlijst	8



1 INLEIDING

Ten behoeve van woningbouwontwikkeling aan de oostzijde van Dorst, is door de opdrachtgever, Ruimte voor Ruimte II CV, opdracht verleend aan Van den Herik, voor het uitvoeren van opsporingswerkzaamheden naar conventionele explosieven (CE).

De aanleiding voor de detectiewerkzaamheden is een vooronderzoek van Saricon, met als kenmerk 72468-VO-01 d.d. 07-05-2009. Hierin is geconcludeerd dat het gebied verdacht is op de aanwezigheid van CE zijnde kleinkalibermunitie, handgranaten, munitie voor antitankwapens, geschut- en mortiergranaten en afwerpmunitie. Bovendien zouden zich delen of restanten van vliegtuigen en de bommenlast, boordwapens en de munitie hiervan alsmede delen of restanten van V1's in de bodem kunnen bevinden.

2 HET ONDERZOEK

Het onderzoek bestond uit een non-realttime oppervlakedetectie en had als grondslag het projectplan met als kenmerk 11181-PP-OCE 1 V1.

2.1 Uitgevoerde detectie

Het onderzoeksgebied met een oppervlakte van circa 2 ha is met een 8-sonden multi-sensorkar vlakdekkend ingemeten. Het terrein was goed begaanbaar.

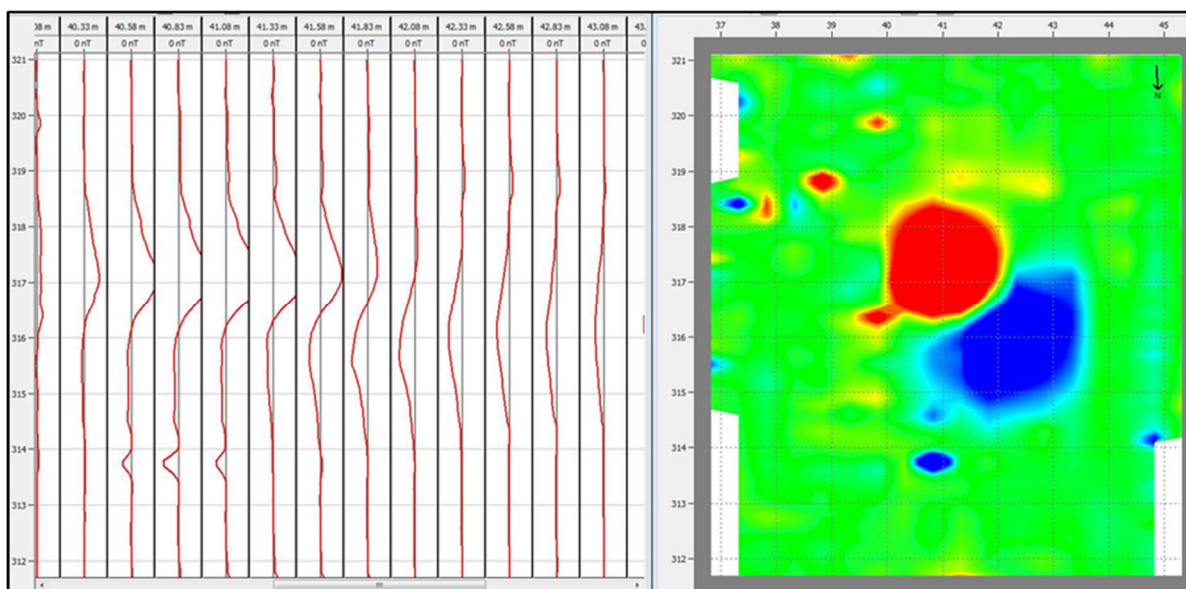


Figuur 1: multi-sensorkar 8 sonden.

2.2 Interpretatie meetgegevens

Na verwerking van de meetdata in het evaluatieprogramma EVA2000 is de data geïnterpreteerd. Als basis voor de interpretatie zijn de CE die in het projectplan worden genoemd aangehouden.

Verstoringen van het aardmagnetisch veld, veroorzaakt door ferro-houdende objecten worden als rode en blauwe vlekken weergegeven op de veldkaart. In figuur 2 zijn aan de linkerzijde de meetgrafieken weergegeven en rechts de visualisatie op een veldkaart. Een ferro-houdend object zoals bijvoorbeeld een granaat veroorzaakt doorgaans een positieve (rood) en een negatieve (blauw) afwijking van het aardmagnetisch veld. Afhankelijk van de grootte en ligging van het object zijn de vlekken groter of kleiner.



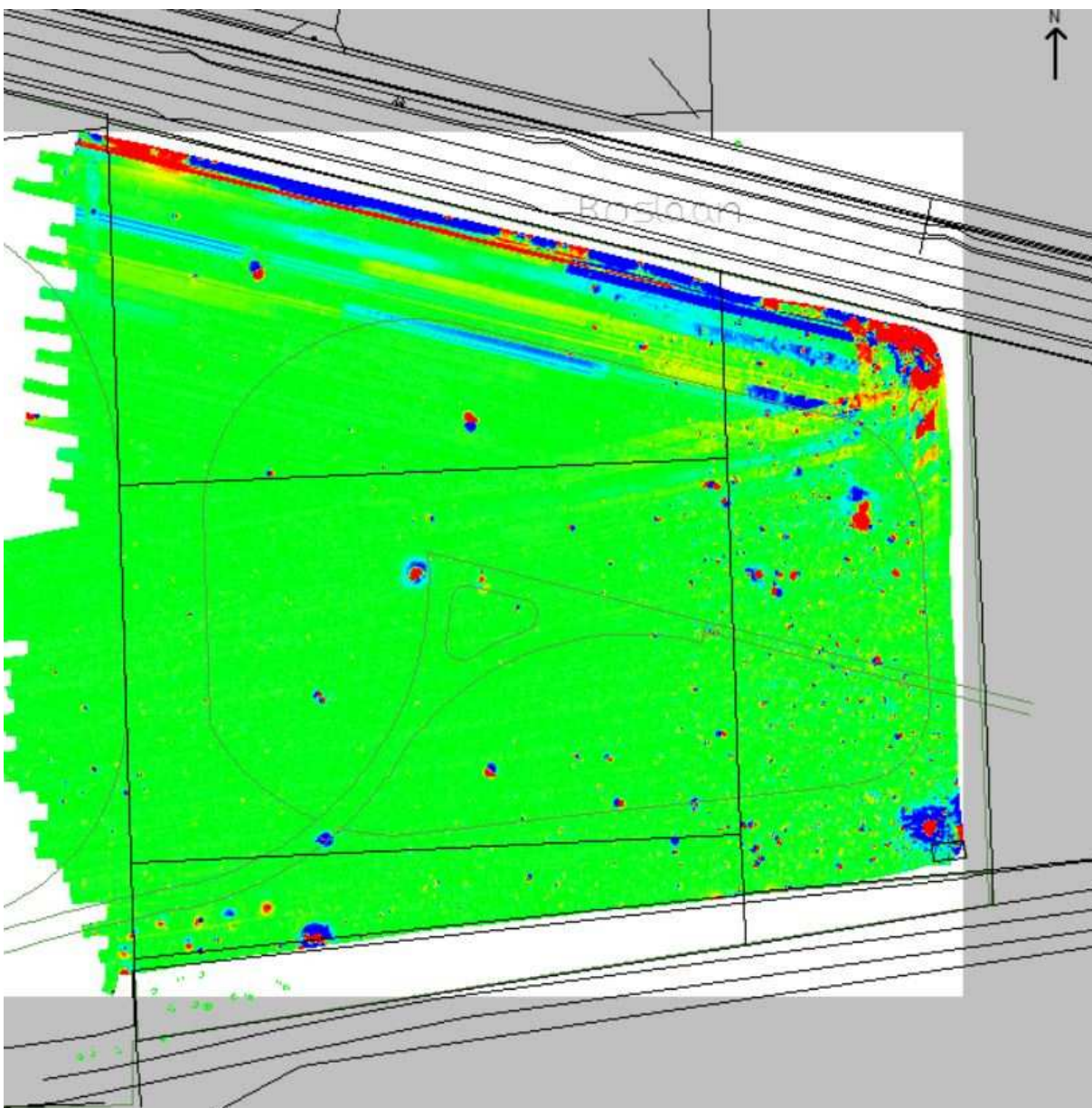
Figuur 2: meetkarakteristieken willekeurig ferro-houdend object



3 MEETRESULTATEN

Het gebied was aan drie zijden begrensd door een hek van de spoorwegen, een hoger gelegen perceel en een strook bos en is tot deze grenzen ingemeten. Kavel 1200 en 1201 waren niet in te meten, door de aanwezigheid van bosschage. De metingen waren van goede kwaliteit. Het hekwerk langs het spoor had een verstorende invloed op de meting.

Binnen het gebied zijn 304 objecten gemeten die als significant konden worden beschouwd. Binnen kavel 863 bevonden zich aanmerkelijk meer objecten dan in de resterende kavels. De significante objecten zijn in een objectenlijst opgenomen en als bijlage B bijgevoegd.



Figuur 3: veldkaart ingemeten gebied



4 CONCLUSIE EN ADVIES

Het te onderzoeken gebied is zo goed mogelijk ingemeten. Na interpretatie van de meetgegevens zijn 304 objecten als significant beschouwd. Het hekwerk langs het spoor heeft een versturende werking op de meting. Wij adviseren de significante objecten onder OCE-omstandigheden te benaderen en te verwijderen.

Voor het gebied langs het hekwerk van het spoor adviseren wij een handmatige detectie uit te voeren met metaaldetectoren, waarbij gemeten objecten direct worden benaderd en verwijderd.

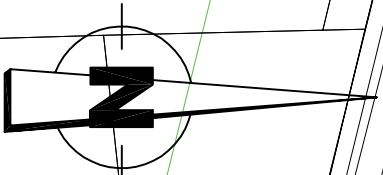
De kavels 1200 en 1201 waren niet in te meten met de 8-sonden multi-sensorkar door de aanwezigheid van bosschage. Deze kavels kunnen wel handmatig ingemeten worden met toepassing van een magnetometer. Ook voor deze kavels geldt dat eventuele gemeten objecten direct kunnen worden benaderd en verwijderd.



VAN DEN HERIK
SLIEDRECHT

BIJLAGEN

Bijlage A: Tekening onderzocht gebied



VAN DEN HERIK - SLIEDRECHT
 Afdeling OCE
 Industrieweg 24 Postbus 191 3300 AD Sliedrecht t:0718-41281 f:0718-41197

Bestek: 11181

Titel: Gedetecteerd gebied

Opdrachtgever: Gemeente Oosterhout/ Ruimte voor Ruimte

C			
B			
A			
Revisie Betreft			
tek.nr.		formaat: A3	
Autorisatie		schaal: 1:1000	
Gestellierd		Status	
Gecontroleerd		Paradij akkoord	
Opdrachtgever		Datum	
Datum		Paradij	

Status: 1 = wijzig naar ontwerp
 Status: 2 = goed naar ontwerp naar uitvoering
 Status: 3 = goed voor gebruik binnen OCE-afdeling
 Status: 4 = voor ontwerp - alleen geschikt voor OCE-afdeling



VAN DEN HERIK
SLIEDRECHT

BIJLAGEN

Bijlage B: Objectenlijst

Nr.	Easting	Northing	Depth	Max-Val	Magn. Moment	Fit-Area
	m	m	m	nT	Am ²	m ²
1	119152.2	400325.6	0.64	90	0.684	6.06
2	119154.3	400324.3	0.07	602	0.299	1.64
6	119175.2	400326.6	1.09	2070	42.705	7.41
8	119192.1	400342.2	0.18	104	0.063	0.63
9	119213.4	400337.2	0.13	176	0.081	0.97
10	119239.4	400341.5	0.04	205	0.079	0.75
11	119239.5	400343.5	0.6	308	1.405	1.91
14	119254.9	400340.3	0.05	428	0.165	1.06
15	119254.1	400339.3	0.16	246	0.189	0.78
16	119257.9	400343.7	0.12	286	0.173	0.95
17	119259.6	400335	0.16	109	0.084	0.64
19	119274.9	400340	0.16	153	0.103	0.8
20	119290	400342.9	0.11	213	0.122	0.81
21	119285	400345.8	0.99	2038	34.946	10.83
23	119290.4	400353.8	0.14	380	0.246	0.92
24	119279.8	400362.1	0.18	187	0.213	0.89
25	119251.9	400346.3	0.05	671	0.217	1.22
26	119243.2	400350.4	0.1	837	0.32	1.44
28	119229.5	400350.4	0.25	438	0.798	1.82
31	119227.9	400358.6	0.5	129	0.43	0.71
32	119221.9	400358.9	0.03	154	0.05	0.57
33	119206.5	400356.4	0.54	266	2.049	2.8
34	119141.3	400352.8	0	321	0.094	1.04
36	119144.5	400353.4	0.26	37	0.048	1.12
37	119278.2	400360.2	0.05	164	0.033	1.35
43	119120.8	400357.3	0.15	38	0.03	1.68
71	119128.6	400374.5	0.13	103	0.04	1.94
75	119129.8	400351.4	0.08	72	0.036	1.99
76	119130.7	400464.2	0.43	35	0.125	4.37
80	119130.2	400354.7	0.37	40	0.059	2.55
89	119131.9	400465.1	0.43	32	0.104	4.94
93	119132.9	400458.9	0.43	16	0.074	1.6
101	119133.2	400353	0.23	69	0.036	1.49
105	119133.7	400368.1	0.16	57	0.047	3.11
110	119133.5	400337	0.52	34	0.105	1.33
112	119133.5	400347.4	0.25	31	0.044	1.81
134	119135.4	400357.2	0.06	178	0.068	2.23
140	119136.4	400464.7	3.4	28	16.436	8.75
145	119135.7	400327.6	0.22	64	0.051	0.73
178	119138.5	400317.2	0.17	79	0.034	0.89
204	119139.5	400357.9	0.27	47	0.034	0.82
208	119139.8	400329.4	0.33	20	0.068	0.74
217	119140.7	400324.3	0.89	42	0.989	9.71
222	119140.9	400320.2	0.99	180	2.971	6.53
238	119142.2	400327.4	0.56	66	0.452	4.94
247	119143.1	400389.8	0.44	19	0.044	0.99
256	119143.6	400356	0.07	109	0.048	1.99
258	119143.7	400368.5	0.22	34	0.032	1.83

Nr.	Easting	Northing	Depth	Max-Val	Magn. Moment	Fit-Area
264	119144.3	400338.5	0.28	30	0.046	1.94
268	119144.9	400414.7	0.26	25	0.043	2.01
299	119147.3	400329.6	0.8	57	0.67	6.85
303	119147.9	400362.2	0.35	18	0.032	0.77
327	119150.6	400456.2	0.25	64	0.105	2.82
363	119152.2	400325.6	0.65	90	0.685	7.74
367	119152.8	400352.4	0.32	13	0.039	1.21
371	119152.8	400384.8	0.07	254	0.064	2.12
380	119153.9	400445.4	0.4	61	0.168	9.69
386	119154.3	400324.3	0.09	602	0.311	3.23
394	119154.4	400329.8	0.19	313	0.194	8.2
396	119154.4	400429.4	0.34	37	0.055	0.78
414	119155.5	400369.2	0.21	58	0.04	0.95
434	119157.3	400326.4	0.21	84	0.094	2.53
468	119160.1	400328.9	0.87	45	0.428	6.98
479	119159.6	400330.8	1.62	48	3.708	12.29
529	119165.6	400378.8	0.43	20	0.038	0.82
536	119166.4	400360.5	0.2	50	0.041	1.95
545	119166.2	400332.1	1.74	62	4.92	16.81
547	119167.3	400410	0.08	277	0.156	2.87
553	119165.1	400446.2	0.67	562	5.728	11.83
569	119168.3	400325	0.38	60	0.087	1.52
581	119169.4	400354.9	0.47	22	0.065	1.14
655	119175.6	400370.2	0.15	563	0.225	3.06
681	119176.5	400344.2	0.46	1024	5.362	11.2
689	119177.9	400369.7	0.26	34	0.047	1.52
705	119179.1	400345.8	0.19	58	0.033	1.67
780	119186.7	400330.7	0.13	64	0.031	1.5
804	119188.4	400331.3	0.24	48	0.053	1.62
842	119192.1	400342.2	0.18	104	0.063	2.97
852	119193.5	400391.8	1.01	605	9.126	20.43
887	119194.8	400335.2	0.46	37	0.087	1.45
890	119196.1	400401.7	0.33	89	0.179	3.95
901	119196.7	400336.3	0.12	58	0.04	2.37
937	119200	400347.2	0.25	24	0.031	1.44
962	119203.4	400418.6	0.76	511	4.834	6.08
1002	119205.2	400389.3	0.91	33	0.754	5.9
1004	119205	400392.2	0.19	81	0.056	2.23
1013	119205.1	400390.6	0.57	69	0.332	6.24
1025	119206.3	400342.4	0.18	31	0.034	1.61
1026	119206.5	400356.4	0.55	266	1.962	10.61
1044	119208.3	400375.7	0.47	17	0.051	0.92
1059	119210.8	400333.8	0.39	18	0.047	1.36
1070	119211.7	400385.4	0.02	201	0.039	1.2
1142	119217.1	400344.2	0.25	28	0.034	2.51
1160	119218.1	400335.8	0.16	51	0.036	1.91
1176	119218.8	400332.1	0.41	30	0.068	0.93
1179	119219.4	400345.7	0.31	64	0.084	2.69
1193	119221.4	400431.2	2.03	143	25.563	28.1

Nr.	Easting	Northing	Depth	Max-Val	Magn. Moment	Fit-Area
1196	119221.3	400399.9	0.09	260	0.141	3.11
1204	119221.3	400334.8	0.28	16	0.038	1.42
1211	119221.9	400358.9	0.06	154	0.063	2.51
1230	119223.8	400437.4	1.99	34	3.378	11.92
1272	119225.6	400435.7	0.38	148	0.23	4.22
1297	119226.2	400353.3	0.31	82	0.094	2.87
1334	119228.2	400393.4	0.05	106	0.035	2.01
1344	119228.5	400339.6	0.21	45	0.03	1.64
1349	119228.5	400343.3	0.41	22	0.05	0.65
1361	119229.4	400350.4	0.23	438	0.763	6.47
1374	119229.9	400332.5	0.39	29	0.065	2.27
1450	119234.4	400432.2	0.52	132	0.454	20.89
1463	119234.2	400392.6	0.39	28	0.108	2.49
1534	119236.3	400401.3	0.42	171	0.147	1.55
1536	119236.1	400380.5	0.14	77	0.066	1.1
1556	119235.9	400414.8	5.82	13	51.443	2.25
1665	119240	400425.5	0.15	76	0.059	2.62
1676	119240.5	400363.5	0.25	31	0.058	1.51
1685	119240.5	400339.4	0.15	73	0.036	1.95
1689	119240.2	400335.4	0.18	40	0.045	2.84
1732	119241.6	400404.4	0.39	22	0.118	2.04
1762	119242.7	400419	0.41	34	0.062	2.95
1771	119242.7	400389.6	0.18	113	0.051	2.09
1774	119243.1	400413.7	1.68	29	1.846	3.67
1786	119243.6	400381.3	0.35	31	0.048	1.85
1796	119242.8	400348.9	0.11	122	0.066	4.22
1803	119243.4	400366.2	0.28	23	0.054	2.37
1804	119243.3	400370.8	0.09	180	0.099	2.63
1815	119243.4	400375.2	0.45	27	0.061	3.12
1831	119243.9	400362	1.13	57	0.7	2.01
1850	119244.4	400416.7	0.35	72	0.092	8.91
1863	119244.6	400346.8	0.2	39	0.038	2.75
1881	119246.3	400409.6	0.78	38	0.294	9.5
1887	119245.4	400361	0.11	100	0.057	2.22
1889	119245.3	400393.6	0.07	942	0.171	1.18
1894	119245.9	400407.4	0.3	169	0.426	5.49
1904	119246.3	400387.3	0.22	36	0.036	1.91
1916	119246.3	400381	0.31	91	0.161	4.65
1933	119246.8	400407.4	0.27	572	0.948	5.5
1952	119247.1	400416	0.36	64	0.099	4.41
1956	119247.4	400345.5	0.12	129	0.041	3.17
1975	119247.5	400381.2	0.07	80	0.034	1.47
1977	119247.6	400393.7	0.15	157	0.073	3.99
1984	119247.4	400333	1.62	102	5.375	8.31
2007	119249	400346.1	0.13	75	0.048	1.81
2013	119247.9	400362.8	0.44	184	0.636	4.45
2027	119248.7	400339.2	0.17	44	0.04	2.72
2028	119248.9	400352.5	0.34	29	0.052	1.39
2032	119249.1	400414.4	0.2	99	0.052	5.64

Nr.	Easting	Northing	Depth	Max-Val	Magn. Moment	Fit-Area
2035	119248.8	400404.3	0.22	117	0.421	2.15
2058	119249.6	400358.8	0.24	55	0.055	2.68
2067	119249.5	400343.4	0.22	28	0.033	1.62
2078	119249.3	400392.8	0.16	50	0.038	1.69
2133	119250.7	400407.9	0.2	88	0.132	8.27
2146	119251.3	400398.8	0.95	19	0.515	1.19
2158	119253.2	400391.6	1.02	90	1.735	9.09
2162	119250.9	400334.7	0.21	74	0.064	3.14
2169	119251.3	400414	0.17	45	0.034	1.83
2194	119252.1	400395.1	0.24	68	0.038	0.6
2212	119252.5	400429.9	1.12	22	0.535	3.23
2221	119252.3	400375.7	0.25	38	0.056	2.56
2237	119251.9	400346.3	0.06	671	0.206	5.41
2240	119253.2	400413.9	0.92	24	0.285	1.1
2275	119253	400376.6	0.38	31	0.086	2.17
2330	119254.1	400390.5	2.98	32	14.761	9.13
2349	119254.8	400429.2	0.36	105	0.152	2.79
2363	119254.1	400339.3	0.11	246	0.148	2.71
2367	119253.1	400346.2	0.09	100	0.07	6.54
2398	119253.9	400342.2	0	1595	0.354	2.51
2412	119254.9	400340.3	0.05	428	0.159	2.47
2418	119255.3	400414.4	0.42	35	0.119	0.73
2422	119255.1	400334	2.06	59	5.793	4.25
2423	119253.8	400346.5	0.35	57	0.137	4.09
2431	119256.9	400426.2	2.9	74	10.022	10.97
2436	119255.6	400399.3	0.16	105	0.095	2.39
2451	119255.6	400354.4	0.34	23	0.063	2.15
2511	119256.6	400419.9	0.15	418	0.166	1.26
2513	119255.5	400368.1	0.37	74	0.114	2.57
2527	119257	400357.9	0.68	66	0.437	1.23
2529	119257.4	400395.3	0.42	13	0.09	0.99
2533	119256.7	400406.3	0.05	29	0.042	2.03
2549	119256.8	400376.8	0.17	92	0.054	3.75
2571	119256.6	400364	0.13	23	0.054	2.46
2584	119257.1	400344.5	0.1	96	0.034	1.56
2601	119258	400401.9	0.19	50	0.038	2.39
2606	119257.8	400410.8	0.3	61	0.056	0.61
2620	119257.9	400388	0.24	715	1.012	11.73
2631	119259.1	400345.5	0.2	39	0.047	2.4
2653	119258.4	400339.5	0.35	28	0.059	2.84
2669	119258.6	400411.6	0.12	50	0.032	0.64
2672	119258.4	400391.4	0.26	122	0.263	5.66
2675	119259.3	400427.7	0.21	34	0.097	8.06
2699	119259.4	400398	0.28	62	0.143	6.04
2730	119260.1	400398	0.26	55	0.109	4.25
2739	119260.1	400410.7	0.26	38	0.03	0.71
2740	119259.6	400335	0.17	89	0.09	2.09
2744	119259.5	400356.2	0.46	59	0.083	1.12
2770	119260.7	400335	0.4	85	0.16	2.52

Nr.	Easting	Northing	Depth	Max-Val	Magn. Moment	Fit-Area
2793	119260.6	400382	0.04	153	0.043	2.09
2831	119261.1	400391	0.74	154	1.08	5.39
2837	119261.5	400405.1	0.13	92	0.03	1.97
2844	119261.8	400409.7	0.43	65	0.483	2.06
2847	119261.5	400335	0.76	87	0.569	2.08
2852	119260.4	400364.2	0.27	87	0.065	1.08
2901	119261.8	400348.4	0.85	20	0.235	2.31
2912	119262.7	400412.8	0.26	80	0.105	0.51
2916	119263.1	400404.2	0.33	41	0.052	2.29
2958	119262.8	400401.2	1.49	37	2.074	4.36
3041	119263.8	400345.8	0.2	86	0.041	1.08
3055	119264.7	400405.6	0.27	63	0.06	1.31
3065	119263.3	400386.2	0.43	25	0.105	5.76
3130	119265.9	400405.1	0.15	80	0.037	2.02
3134	119265.2	400341.7	0.19	63	0.058	2.32
3136	119265.5	400377.4	0.17	100	0.071	2.39
3180	119265.6	400346.4	0.17	104	0.042	2.79
3182	119265.8	400385.7	0.68	62	0.202	2.06
3224	119266.2	400368.1	0.12	119	0.056	2.47
3301	119266.8	400370	0.26	30	0.048	1.78
3322	119266.9	400359.8	2.88	35	4.876	0.99
3343	119267.3	400425	0.1	126	0.064	13.16
3350	119267	400430	0.12	131	0.357	32.49
3355	119267.3	400404.9	0.09	120	0.051	2.01
3457	119268.4	400400.3	0.19	52	0.034	1.75
3483	119267.9	400335.5	0.06	178	0.038	1.59
3484	119268.8	400378.4	0.23	149	0.107	3.48
3528	119268.3	400363.9	0.48	33	0.096	2.3
3530	119268.8	400412.9	0.24	37	0.04	1.43
3556	119266.4	400413	3.83	32	72.039	12.91
3565	119270	400422.2	0.22	34	0.547	6.45
3577	119267.9	400374.7	0.18	59	0.083	3.18
3616	119269	400341.4	0.69	26	0.183	2.86
3637	119269.8	400392.2	0.18	46	0.035	2.95
3651	119270.8	400391.2	1.36	30	1.343	2.71
3664	119269.7	400361.3	0.09	54	0.031	1.49
3676	119270.4	400373.2	0.16	80	0.039	1.2
3684	119269.7	400366.8	0.34	17	0.093	2.59
3703	119269	400338.9	0.39	89	0.19	3.14
3712	119270.8	400393.9	0.18	130	0.123	2.58
3718	119270.1	400344.8	0.32	18	0.042	2.53
3719	119270.6	400413.8	0.94	22	0.559	0.71
3731	119271.2	400390.3	0.6	52	0.22	3.38
3748	119271	400341.4	0.27	32	0.03	1.18
3750	119270.5	400368.8	0.11	63	0.047	3.7
3847	119272.8	400345.4	0.13	71	0.052	2.21
3959	119272.9	400377	0.42	40	0.085	2.67
3961	119273.4	400388.3	0.34	43	0.063	2.15
3976	119273.2	400368.5	0	198	0.033	2.07

Nr.	Easting	Northing	Depth	Max-Val	Magn. Moment	Fit-Area
4009	119273.2	400346.2	0.4	80	0.18	2.36
4153	119273.2	400404.3	1.66	57	13.779	18.96
4157	119274.5	400345.1	0.14	63	0.047	1.83
4163	119274.7	400399.9	0.32	94	0.232	4.49
4175	119274.9	400340	0.17	153	0.119	3.14
4184	119275.2	400389.8	0.12	56	0.031	3.23
4186	119275	400342.4	0.22	56	0.058	2.24
4198	119275.1	400350.5	0.84	37	0.429	2.88
4213	119275.5	400395.8	0.21	54	0.054	3.87
4282	119275.8	400375.8	0.14	709	0.761	3.87
4335	119276.2	400347.5	0.45	33	0.144	1.64
4336	119275.8	400350.7	0.26	64	0.045	1.52
4352	119276.6	400388.2	0.28	42	0.091	2.84
4361	119276.5	400358.9	0.29	38	0.038	1.75
4457	119277.3	400342.8	0.32	58	0.071	1.04
4468	119277.6	400356.8	0.5	25	0.136	1.64
4483	119277.1	400369.1	0.07	85	0.037	1.09
4485	119278.7	400410.8	0.79	72	0.344	2.75
4494	119277.9	400365.2	0.15	50	0.031	4.74
4563	119278.9	400346.4	1.16	60	1.038	4.64
4574	119277.9	400342.7	0.21	63	0.086	2.3
4600	119278.7	400397.5	0.27	146	0.265	3.33
4634	119279	400365.9	0.3	56	0.081	1.97
4643	119279.1	400351.1	0.27	56	0.09	2.03
4644	119279.3	400391.3	0.86	180	1.435	19.34
4691	119279.8	400408.9	0.67	49	0.231	1.66
4709	119279.9	400400	0.36	86	0.151	1.94
4717	119280.5	400381.5	0.28	35	0.038	2.96
4751	119280.2	400394.6	0.4	78	0.135	5.74
4757	119280	400371.1	0.2	146	0.05	2.87
4799	119280.5	400371.5	0.11	146	0.053	1.5
4821	119280.8	400342.2	0.14	62	0.04	4.39
4834	119280.9	400372.9	0.04	290	0.075	1.81
4862	119281.5	400397.1	0.25	41	0.13	6.81
4882	119281.1	400348.9	0.73	36	1.311	1.11
4968	119281.7	400371.1	0.11	102	0.036	3.07
4974	119282.1	400355.4	0.4	47	0.102	3.27
4984	119281.9	400380.6	0.35	40	0.058	0.81
4996	119282.5	400400.6	0.3	96	0.096	2.58
5064	119282.3	400362.8	0.27	67	0.063	2.15
5131	119282.6	400399.9	0.43	69	0.116	3.18
5164	119283.8	400399.1	0.31	41	0.043	1.59
5211	119284.1	400384.4	0.21	143	0.141	2.49
5231	119284.2	400388.7	0.26	51	0.044	2.69
5242	119284.6	400405.3	0.19	47	0.045	2.79
5285	119284.7	400365.5	0.26	32	0.031	2.97
5297	119285.5	400353.8	0.26	52	0.04	1.5
5346	119285.6	400357.7	0.05	126	0.035	3.14
5390	119286.4	400381.5	0.2	38	0.031	1.88

Nr.	Easting	Northing	Depth	Max-Val	Magn. Moment	Fit-Area
5413	119286.8	400367.6	0.15	107	0.094	3.63
5448	119288.2	400407.8	0.35	40	0.101	4.54
5467	119287.4	400380.3	0.2	57	0.053	2.24
5469	119287	400362.2	0.21	49	0.063	3.67
5476	119287.5	400413.1	0.61	29	0.114	2.47
5490	119287.5	400348.4	0.09	318	0.558	22.03
5501	119288.2	400350.9	0.13	157	0.082	6.6
5504	119288.2	400339.2	3.99	56	104.656	17.06
5509	119288.7	400343.2	0.11	117	0.036	2.76
5526	119290.2	400361.3	0.14	32	0.04	1.15
5530	119290	400342.9	0.07	213	0.095	2.69